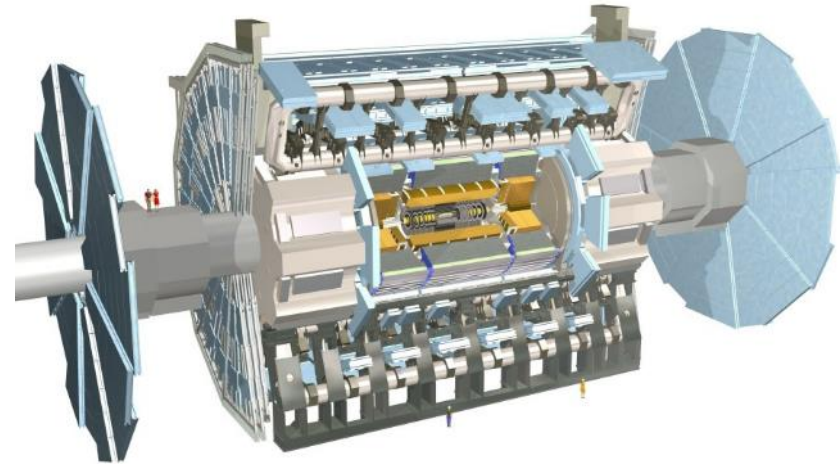
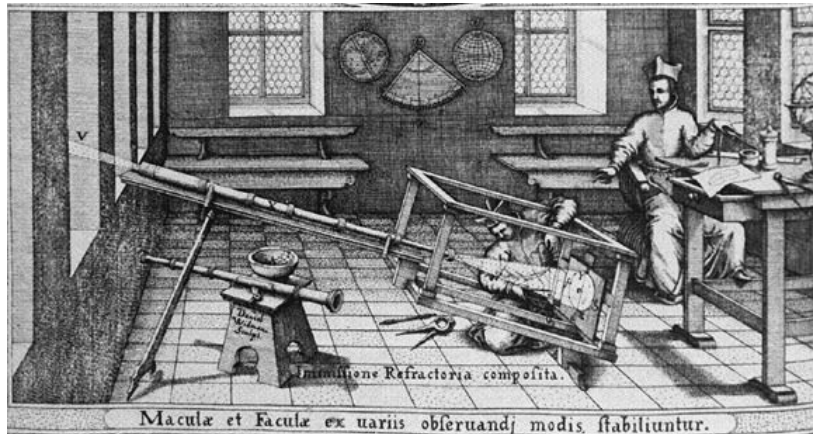


Experimentalphysik III

für Medizininphysik und Lehramt GHR / Sonderpädagogik



TU Dortmund, Wintersemester 2020/21

Prof. Shaukat Khan

0231 755-5399

shaukat.khan @ tu-dortmund.de

Wenn Sie Probleme haben, den Audio-Kommentar abzuspielen, schreiben Sie mir bitte. Normalerweise muss es mit "Bildschirmpräsentation" in PowerPoint, LibreOffice etc. funktionieren, aber anscheinend ist das nicht immer so. Wenn sich die Probleme nicht lösen lassen, müssten wir die Vorlesung auf eine Video-Konferenz zu festen Zeiten umstellen.



Vorlesung

- **Dienstag:** wird möglichst Mo abends hochgeladen, in Ausnahmen am Dienstag
- **Donnerstag:** wird Do abends hochgeladen, in Ausnahmen am Freitag

Fragestunde

- **Donnerstag 12:00**, Link im Moodle-Raum

Modulabschlussklausur

- **Dienstag 9. Februar 2021, 16:00-19:00 im Hörsaal 1** (Hörsaalgebäude II)

Evaluierung der Vorlesung

<https://evaluation.tu-dortmund.de/evasys/online.php?p=1DK1G>

Die Umfrage ist ab sofort und bis einschließlich 11.12.2020 freigeschaltet.

CHE-Ranking

Bitte um rege Teilnahme

Sag, wie's ist!

Ergebnisse und Infos werden unter www.zeit.de/che-ranking und im ZEIT Studienführer 2021/22 veröffentlicht.

Die Befragung zum CHE Ranking steht an. Dieses Jahr im Fach **Physik**. Einladungen zur Befragung

Die **CHE** Studierendenbefragung

... in diesem Jahr im Fach **Physik**

CHE Ranking



1. Transportphänomene

2. Wellenphänomene

3. Quantenmechanik

3.1 Lichtquanten

3.1.1 Strahlung des schwarzen Körpers

3.1.2 Der photoelektrische Effekt

3.1.3 Eigenschaften des Photons

3.1.4 Comptonstreuung

3.1.5 Wechselwirkung von Photonen mit Materie

3.2 Der Welle-Teilchen-Dualismus

3.3 Atome

3.4 Die Schrödingergleichung

3.5 Das Wasserstoffatom

3.6 Wellenfunktion für mehrere Teilchen

3.7 Angeregte Atome

3.8 Mehratomige Systeme

3.9 Atomkerne und Elementarteilchen





Literatur zur Quantenmechanik

D. Griffiths, Quantenmechanik (Pearson)

P. Schmüser, Theoretische Physik für Studierende des Lehramts 1 (Springer)

W. Demtröder, Experimentalphysik 3 (Springer)

R. P. Feynman, Lecture Notes on Physics Vol. III (Addison Wesley)

C. Cohen-Tannoudji et al., Quantenmechanik Band 1 und 2 (de Gruyter)

J. Heintze, P. Bock, Lehrbuch zur Experimentalphysik 5 (Springer)

T. Fließbach, Lehrbuch zur Theoretischen Physik III (Springer)

W. Nolting, Grundkurs Theoretische Physik 5/1 (Springer)

S. Gasiorowicz, Quantenmechanik (Oldenbourg)

M. Alonso, E. J. Finn, Quantenphysik und statistische Physik (Oldenbourg)



3.1 Lichtquanten



Albert Einstein 1951 an Michele Besso:

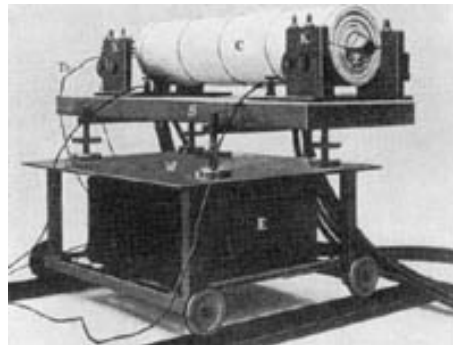
„Die ganzen 50 Jahre bewusster Grübeleien haben mich der Antwort der Frage ‚Was sind Lichtquanten‘ nicht näher gebracht. Heute glaubt zwar jeder Lump, er wisse es, aber er täuscht sich...“



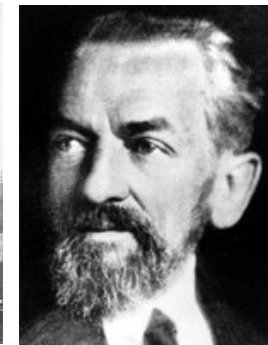
3.1 Lichtquanten

3.1.1 Strahlung des schwarzen Körpers

Historischer Ausgangspunkt der Quantenmechanik: Erklärung des Spektrums eines "schwarzen Körpers", d.h. einer ideal absorbierenden und emittierenden thermischen Strahlungsquelle, üblicherweise durch einen heizbaren Hohlraum mit einer Öffnung realisiert (daher auch "Hohlraumstrahlung").



Hohlraumstrahler an der Physikalisch-Technischen Reichsanstalt in Berlin



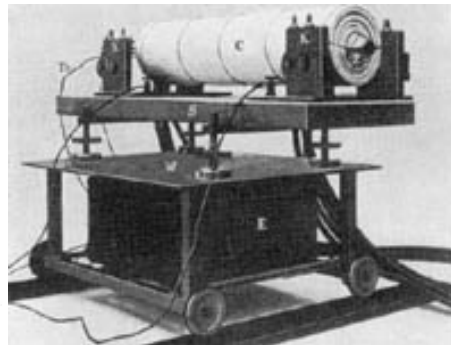
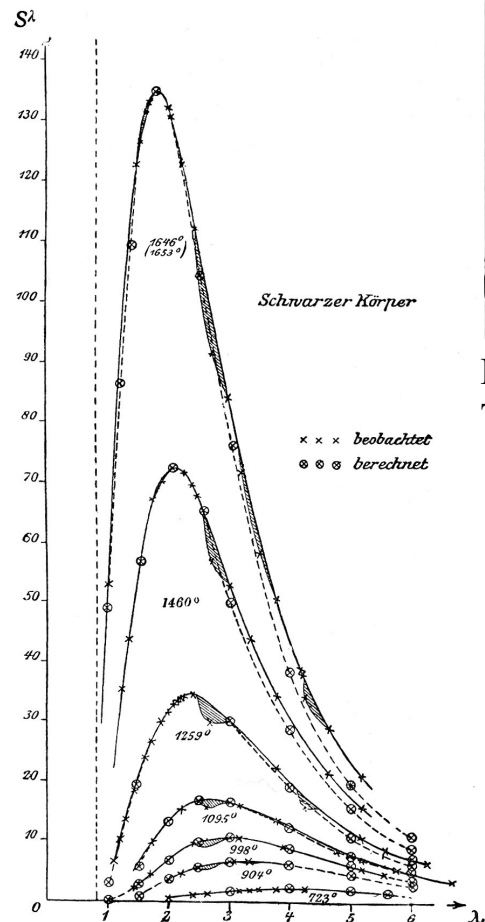
Otto Lummer
(1860-1925)



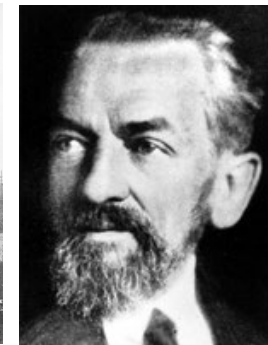
3.1 Lichtquanten

3.1.1 Strahlung des schwarzen Körpers

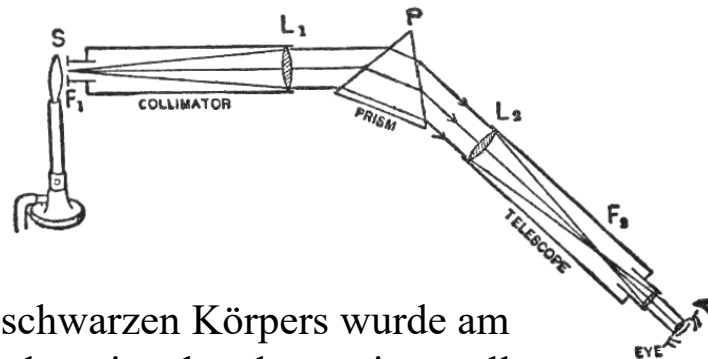
Historischer Ausgangspunkt der Quantenmechanik: Erklärung des Spektrums eines "schwarzen Körpers", d.h. einer ideal absorbierenden und emittierenden thermischen Strahlungsquelle, üblicherweise durch einen heizbaren Hohlraum mit einer Öffnung realisiert (daher auch "Hohlraumstrahlung").



Hohlraumstrahler an der Physikalisch-Technischen Reichsanstalt in Berlin



Otto Lummer
(1860-1925)

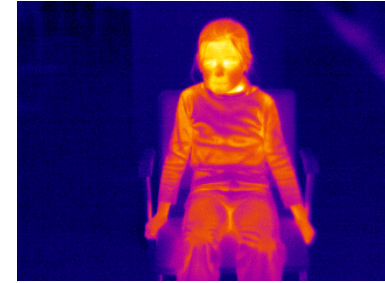


Das Spektrum eines schwarzen Körpers wurde am Ende des 19. Jahrhundert eingehend experimentell untersucht (O. Lummer und andere).

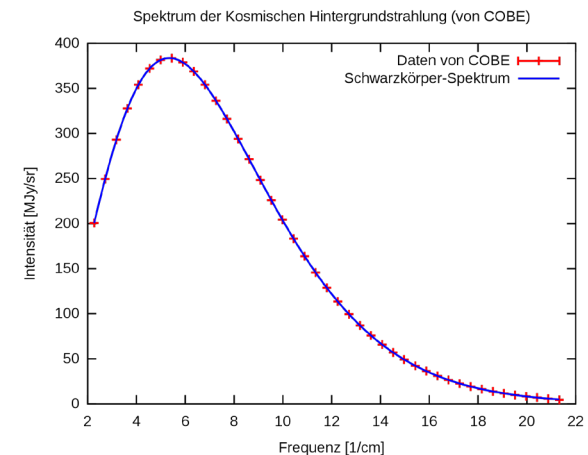
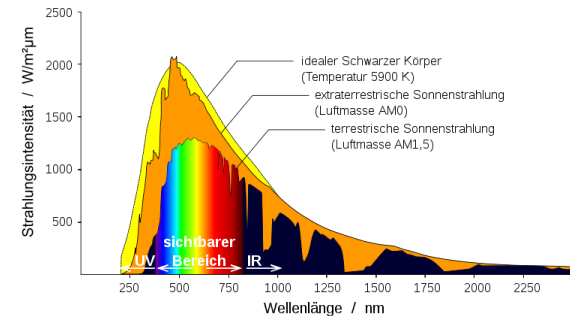


Beispiele für schwarze Strahler

- jeder Körper mit einer Temperatur T
("Wärmestrahlung", $T = 300\text{ K} \rightarrow$ Infrarotbereich)
- glühendes Metall (je nach Temperatur rot, gelb, weiß)
- Sonne $T \approx 5900\text{ K}$, spektrales Maximum $\lambda_{\text{max}} \approx 0,5\text{ }\mu\text{m}$
- kosmischer Strahlungshintergrund $T = 2,725\text{ K}$, $\lambda_{\text{max}} \approx 1063\text{ }\mu\text{m}$

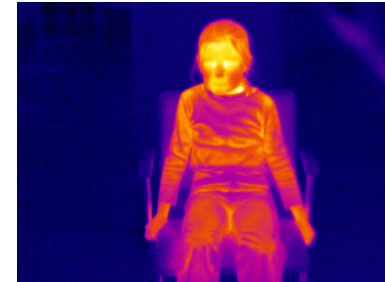


Wärmebildaufnahme

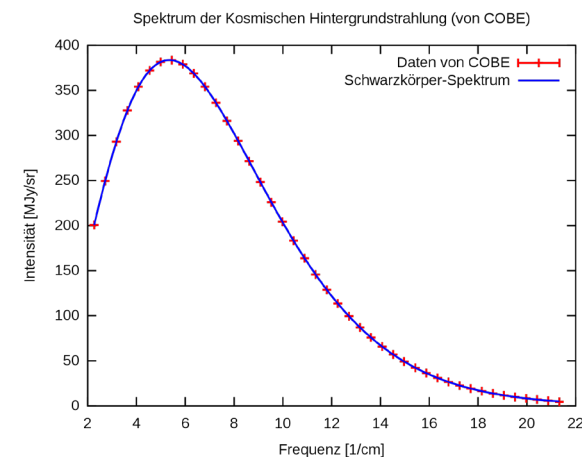
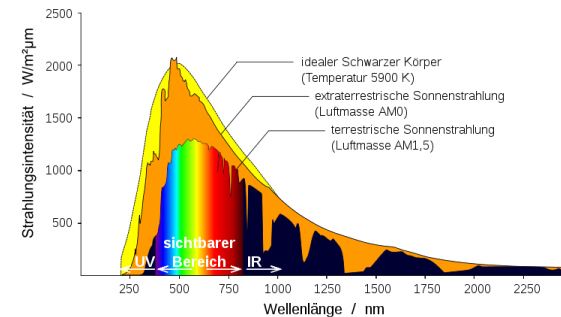


Beispiele für schwarze Strahler

- jeder Körper mit einer Temperatur T
("Wärmestrahlung", $T = 300\text{ K} \rightarrow$ Infrarotbereich)
- glühendes Metall (je nach Temperatur rot, gelb, weiß)
- Sonne $T \approx 5900\text{ K}$, spektrales Maximum $\lambda_{\max} \approx 0,5\text{ }\mu\text{m}$
- kosmischer Strahlungshintergrund $T = 2,725\text{ K}$, $\lambda_{\max} \approx 1063\text{ }\mu\text{m}$



Wärmebildaufnahme



Oben: Sonnenspektrum, modifiziert durch Vorgänge in der Sonnen- und Erdatmosphäre.

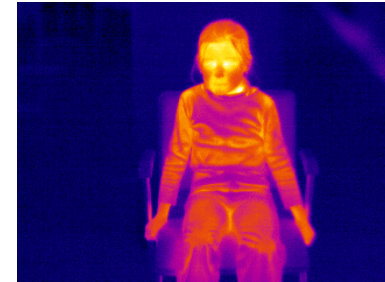
Unten: Spektrum der kosmischen Hintergrundstrahlung. Das Maximum als Funktion der Frequenz (hier in Schwingungen pro cm) ist nicht bei $1/\lambda_{\max}$, weil

$$f = \frac{c}{\lambda} \quad \frac{df}{d\lambda} = -\frac{c}{\lambda^2} \quad df = -\frac{c}{\lambda^2} d\lambda$$



Beispiele für schwarze Strahler

- jeder Körper mit einer Temperatur T
("Wärmestrahlung", $T = 300\text{ K} \rightarrow$ Infrarotbereich)
- glühendes Metall (je nach Temperatur rot, gelb, weiß)
- Sonne $T \approx 5900\text{ K}$, spektrales Maximum $\lambda_{\max} \approx 0,5\text{ }\mu\text{m}$
- kosmischer Strahlungshintergrund $T = 2,725\text{ K}$, $\lambda_{\max} \approx 1063\text{ }\mu\text{m}$



Wärmebildaufnahme

Wiensches Verschiebungsgesetz

$$\text{Wellenlänge } \lambda_{\max} [\mu\text{m}] = \frac{2987,8\text{ }\mu\text{m K}}{T}$$

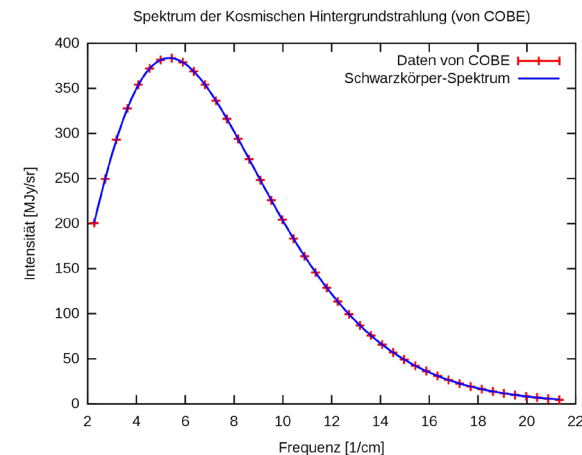
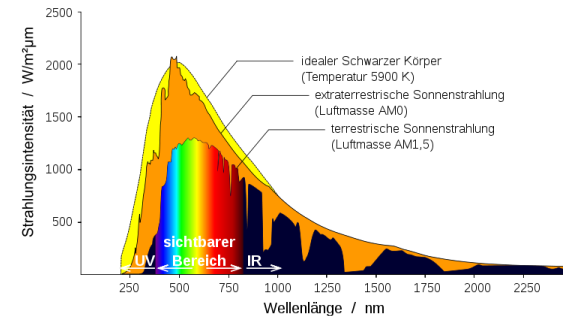
Stefan-Boltzmann-Gesetz

$$\text{Leistung/Fläche } \frac{P}{A} \left[\frac{\text{W}}{\text{m}^2} \right] = 5,670 \cdot 10^8 \frac{\text{W}}{\text{m}^2 \text{K}^4} \cdot T^4$$

Oben: Sonnenspektrum, modifiziert durch Vorgänge in der Sonnen- und Erdatmosphäre.

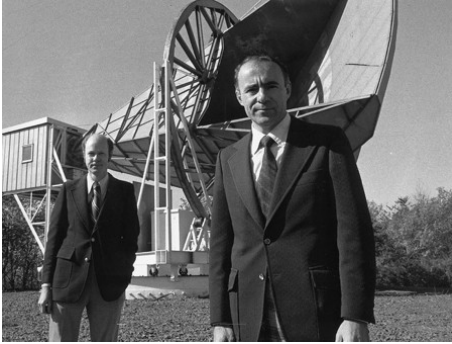
Unten: Spektrum der kosmischen Hintergrundstrahlung. Das Maximum als Funktion der Frequenz (hier in Schwingungen pro cm) ist nicht bei $1/\lambda_{\max}$, weil

$$f = \frac{c}{\lambda} \quad \frac{df}{d\lambda} = -\frac{c}{\lambda^2} \quad df = -\frac{c}{\lambda^2} d\lambda$$

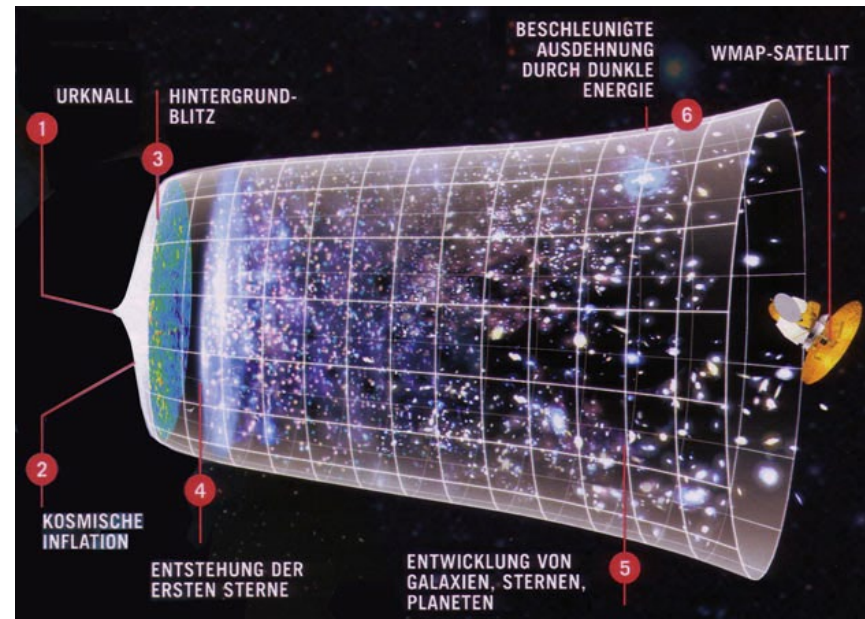


Kosmische Hintergrundstrahlung

Entdeckt 1964 (A. Penzias, R. Wilson).

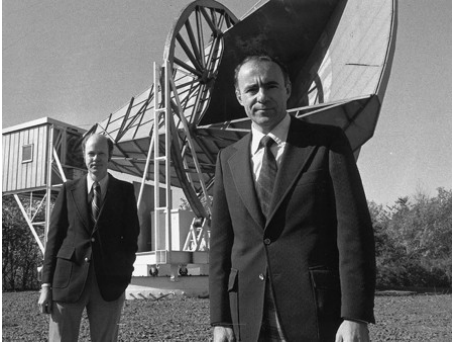


Strahlung aus der Zeit, als das Universum soweit abgekühlt war, dass es durchsichtig wurde, ca. 380.000 Jahre nach dem Urknall.

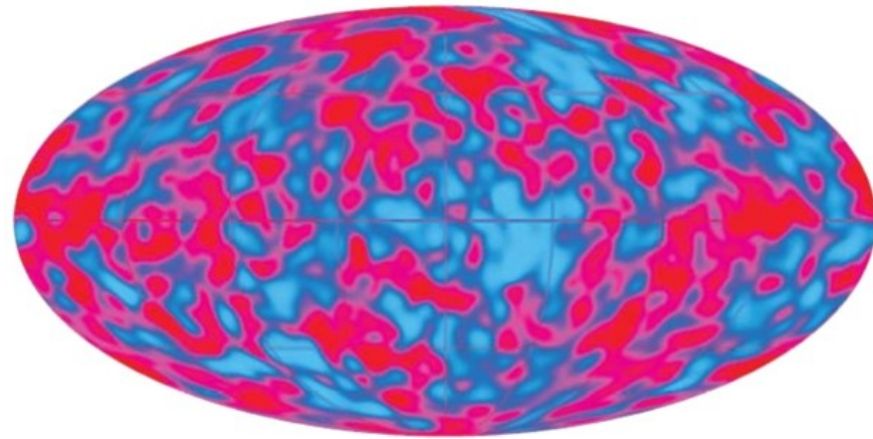


Kosmische Hintergrundstrahlung

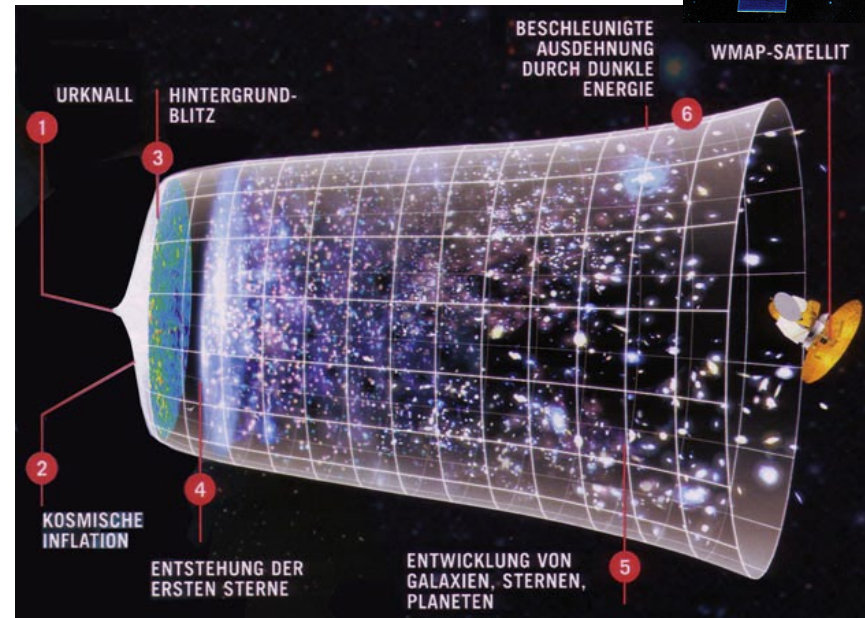
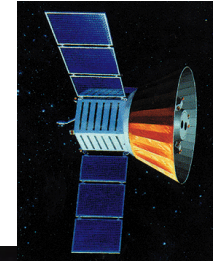
Entdeckt 1964 (A. Penzias, R. Wilson).



Strahlung aus der Zeit, als das Universum soweit abgekühlt war, dass es durchsichtig wurde, ca. 380.000 Jahre nach dem Urknall.

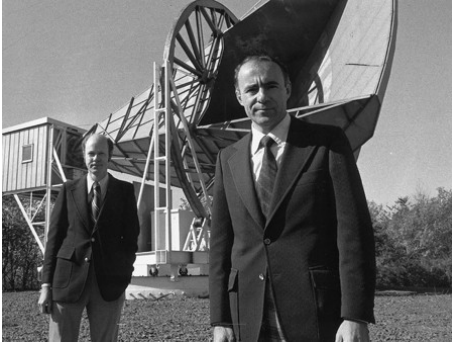


Karte der Temperaturfluktuationen im μK -Bereich (COBE 1992)

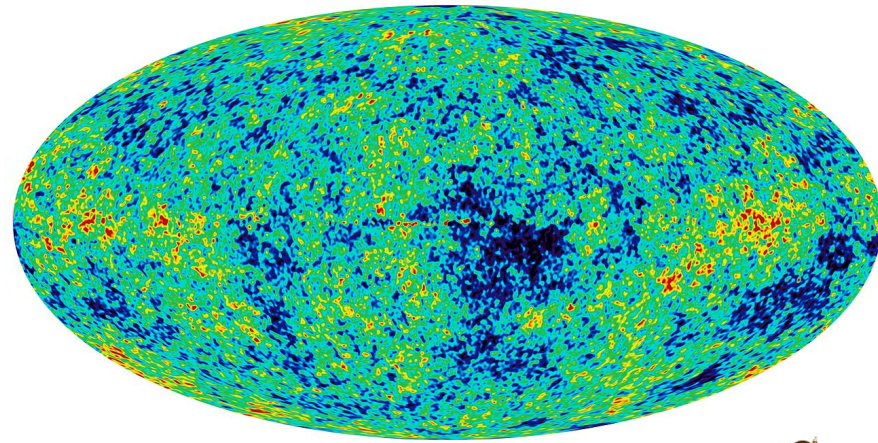


Kosmische Hintergrundstrahlung

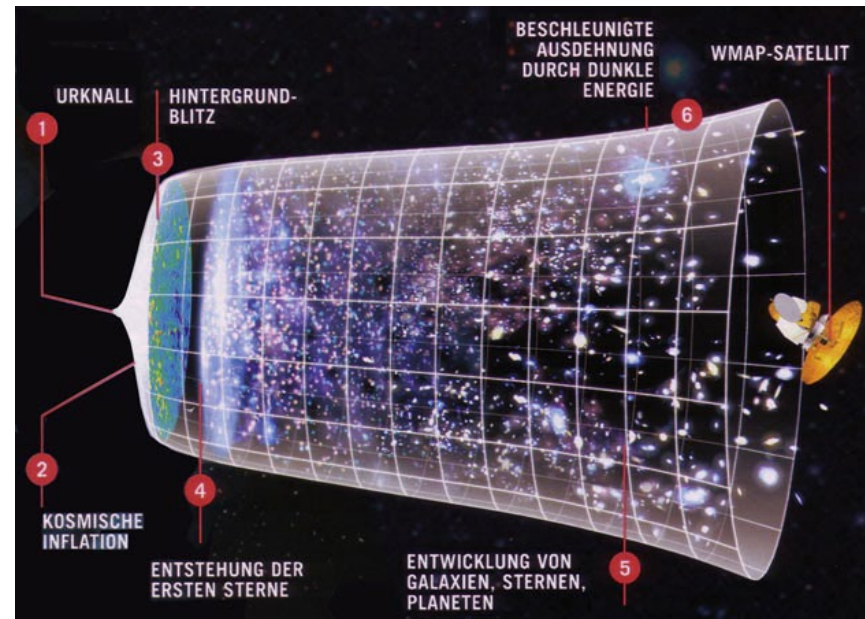
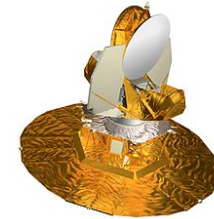
Entdeckt 1964 (A. Penzias, R. Wilson).



Strahlung aus der Zeit, als das Universum soweit abgekühlt war, dass es durchsichtig wurde, ca. 380.000 Jahre nach dem Urknall

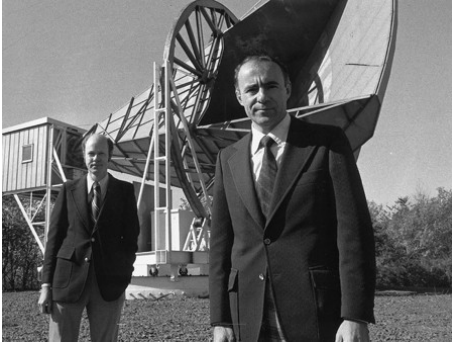


Karte der Temperaturfluktuationen im μK -Bereich (WMAP 2008)

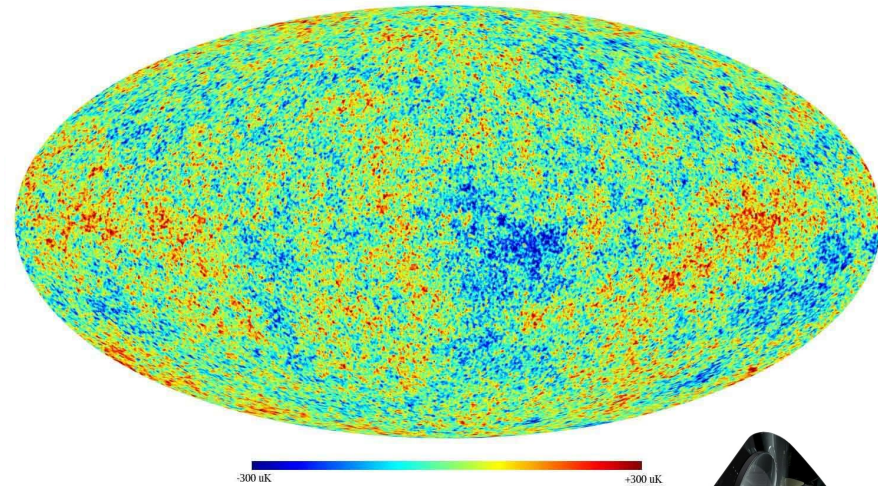


Kosmische Hintergrundstrahlung

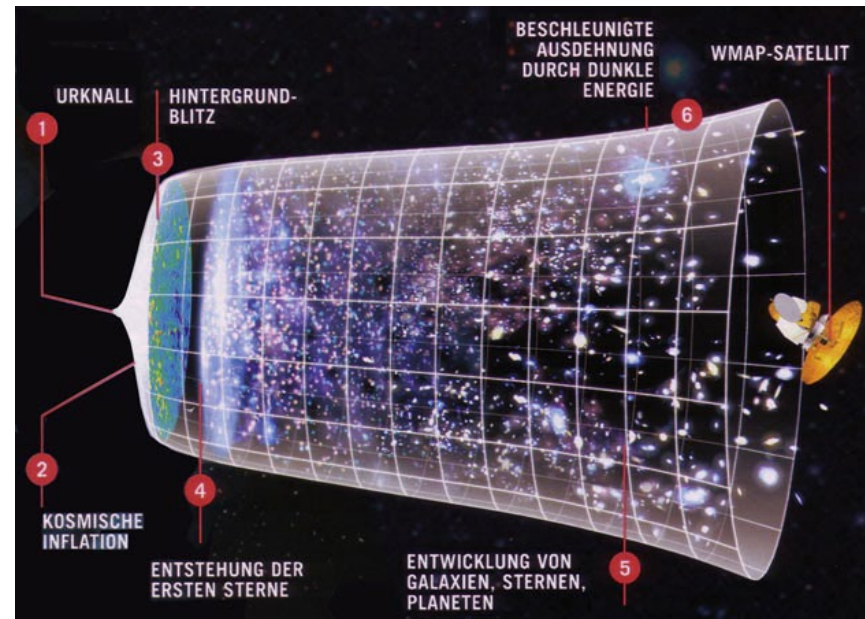
Entdeckt 1964 (A. Penzias, R. Wilson).



Strahlung aus der Zeit, als das Universum soweit abgekühlt war, dass es durchsichtig wurde, ca. 380.000 Jahre nach dem Urknall

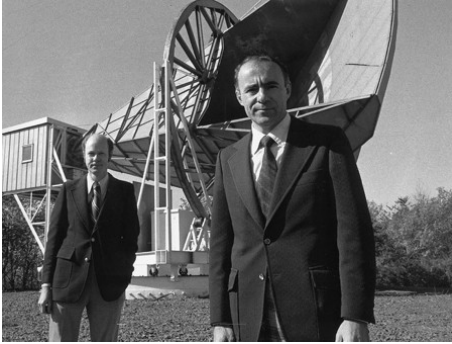


Karte der Temperaturfluktuationen im μK -Bereich (PLANCK 2013)



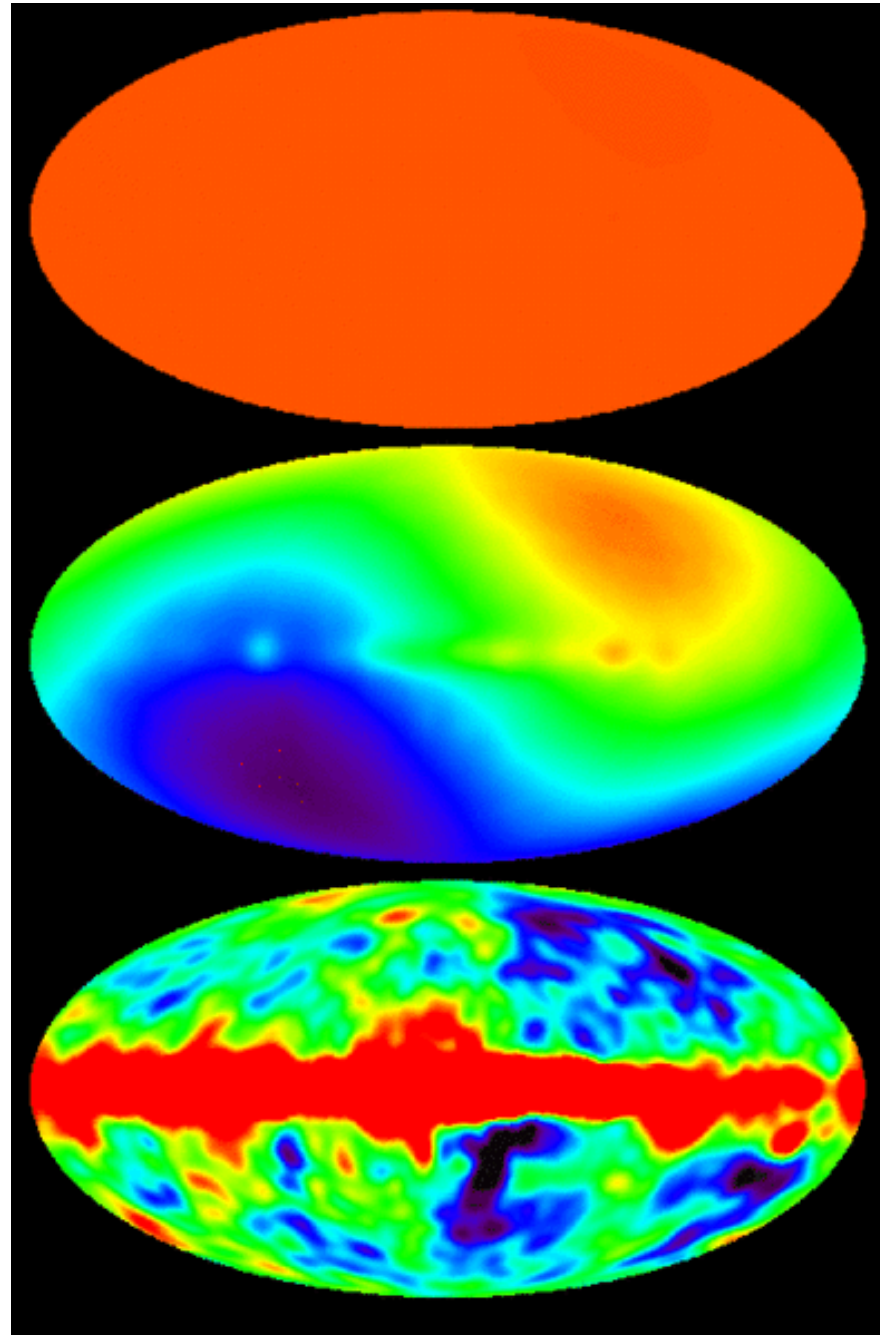
Kosmische Hintergrundstrahlung

Entdeckt 1964 (A. Penzias, R. Wilson).



Strahlung aus der Zeit, als das Universum soweit abgekühlt war, dass es durchsichtig wurde, ca. 380.000 Jahre nach dem Urknall

- Oben: Gleichmäßige Strahlungsverteilung.
Mitte: Dipolkomponente ~ 3 mK aufgrund der Dopplerverschiebung durch die Relativbewegung der Erde.
Unten: Dipolkomponente abgezogen, Effekt der Milchstraße ~ 20 μ K.



Spektrum des Schwarzen Körpers

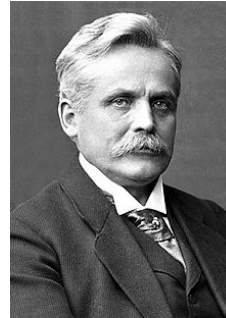
Empirische Tatsachen:

Wiensches Verschiebungsgesetz

$$\text{Wellenlänge } \lambda_{\max} [\mu\text{m}] = \frac{2987,8 \mu\text{m K}}{T}$$

Stefan-Boltzmann-Gesetz

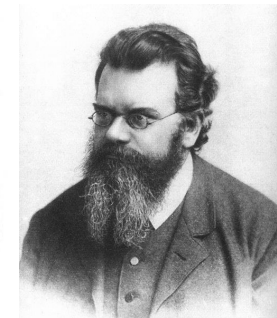
$$\text{Leistung/Fläche } \frac{P}{A} \left[\frac{\text{W}}{\text{m}^2} \right] = 5,670 \cdot 10^8 \frac{\text{W}}{\text{m}^2 \text{K}^4} \cdot T^4$$



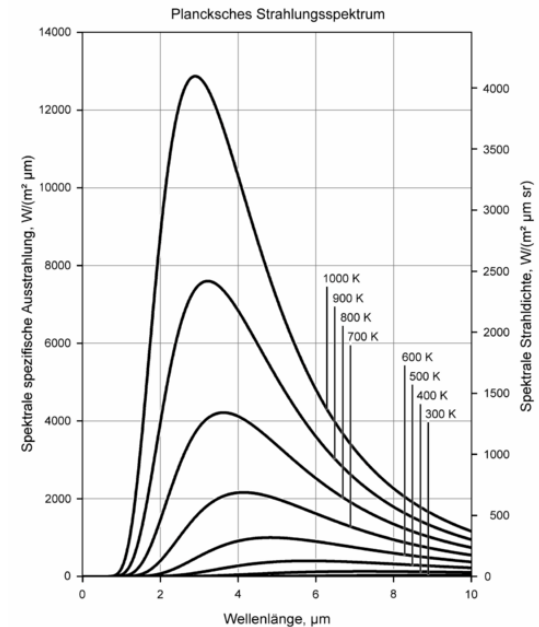
Wilhelm Wien
(1864-1928)



Josef Stefan
(1835-1893)



Ludwig Boltzmann
(1844-1906)



Spektrum des Schwarzen Körpers

Empirische Tatsachen:

Wiensches Verschiebungsgesetz

$$\text{Wellenlänge } \lambda_{\max} [\mu\text{m}] = \frac{2987,8 \mu\text{m K}}{T}$$

Stefan-Boltzmann-Gesetz

$$\text{Leistung/Fläche } \frac{P}{A} \left[\frac{\text{W}}{\text{m}^2} \right] = 5,670 \cdot 10^8 \frac{\text{W}}{\text{m}^2 \text{K}^4} \cdot T^4$$

Spektrale Energiedichte ...

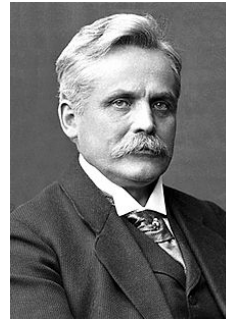
für kleine Frequenzen: **Rayleigh-Jeans-Gesetz**

$$w(\nu, T) \cdot d\nu = \frac{8\pi}{c^3} \nu^2 \cdot k \cdot T \cdot d\nu$$

für hohe Frequenzen: **Wiensches Strahlungsgesetz**

$$w(\nu, T) \cdot d\nu = \frac{4\pi h}{c^3} \nu^3 \cdot \exp\left(-\frac{h \cdot \nu}{k \cdot T}\right) \cdot d\nu$$

mit der Boltzmann-Konstante $k = 1,380.649 \cdot 10^{23} \text{ J/K}$ (exakt)
und einer weiteren Konstante h .



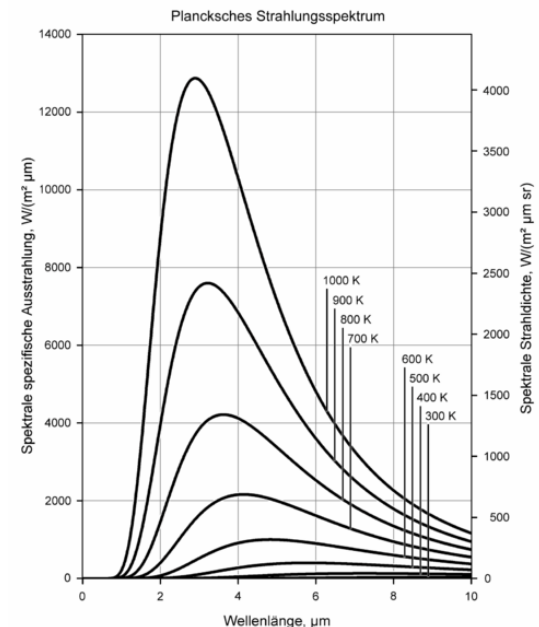
Wilhelm Wien
(1864-1928)



Josef Stefan
(1835-1893)



Ludwig Boltzmann
(1844-1906)



Spektrum des Schwarzen Körpers

Empirische Tatsachen:

Wiensches Verschiebungsgesetz

$$\text{Wellenlänge } \lambda_{\max} [\mu\text{m}] = \frac{2987,8 \mu\text{m K}}{T}$$

Stefan-Boltzmann-Gesetz

$$\text{Leistung/Fläche } \frac{P}{A} \left[\frac{\text{W}}{\text{m}^2} \right] = 5,670 \cdot 10^8 \frac{\text{W}}{\text{m}^2 \text{K}^4} \cdot T^4$$

Spektrale Energiedichte ...

für kleine Frequenzen: **Rayleigh-Jeans-Gesetz**

$$w(\nu, T) \cdot d\nu = \frac{8\pi}{c^3} \nu^2 \cdot k \cdot T \cdot d\nu$$

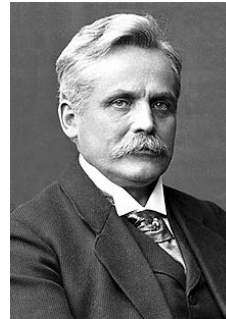
für hohe Frequenzen: **Wiensches Strahlungsgesetz**

$$w(\nu, T) \cdot d\nu = \frac{4\pi h}{c^3} \nu^3 \cdot \exp\left(-\frac{h \cdot \nu}{k \cdot T}\right) \cdot d\nu$$

mit der Boltzmann-Konstante $k = 1,380.649 \cdot 10^{23} \text{ J/K}$ (exakt)
und einer weiteren Konstante h .

Allgemein: Spektrale Energiedichte = Spektrale Modendichte · mittlere Energie/Mode

$$w(\nu, T) \cdot d\nu = \rho \cdot \bar{E} \cdot d\nu$$



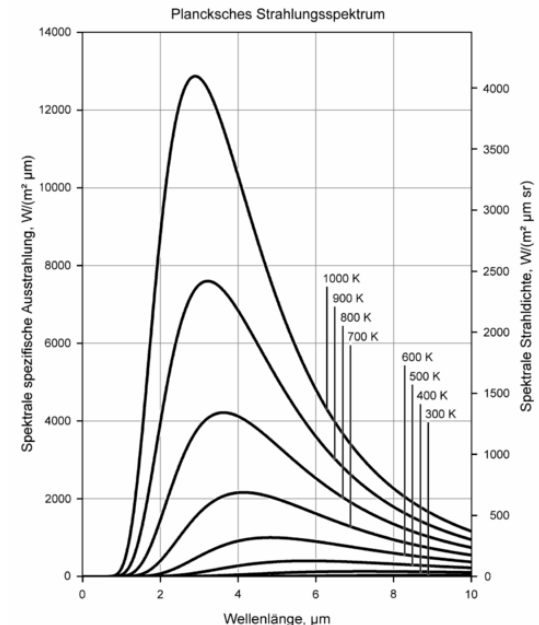
Wilhelm Wien
(1864-1928)



Josef Stefan
(1835-1893)



Ludwig Boltzmann
(1844-1906)

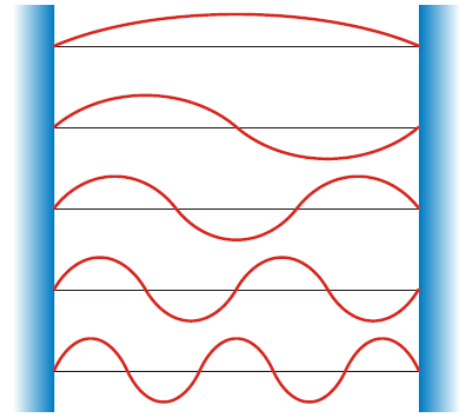


Spektrum des Schwarzen Körpers

Spektrale Modendichte im Hohlraumresonator

1-dimensionale Betrachtung (Länge a , n ganzzahlig),
Wellenlänge λ und Wellenzahl k

$$n \cdot \frac{\lambda}{2} = a \quad \rightarrow \quad k = \frac{\pi}{a} n \quad \text{mit} \quad k = \frac{2\pi}{\lambda}$$



Spektrum des Schwarzen Körpers

Spektrale Modendichte im Hohlraumresonator

1-dimensionale Betrachtung (Länge a , n ganzzahlig),
Wellenlänge λ und Wellenzahl k

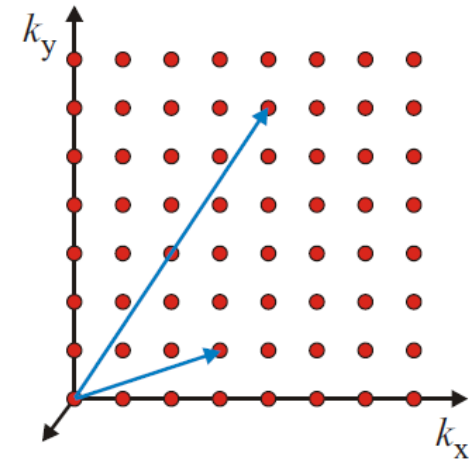
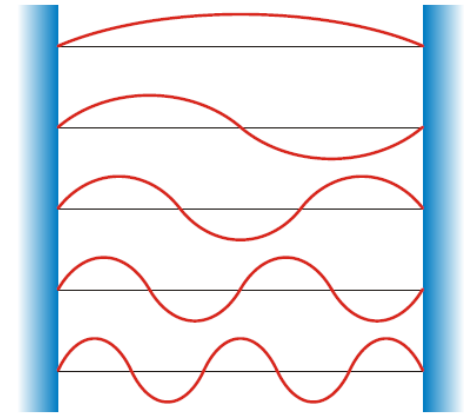
$$n \cdot \frac{\lambda}{2} = a \quad \rightarrow \quad k = \frac{\pi}{a} n \quad \text{mit} \quad k = \frac{2\pi}{\lambda}$$

Verallgemeinerung auf 3 Dimensionen (n, m, q ganzzahlig)

$$k = \frac{\pi}{a} \sqrt{n^2 + m^2 + q^2}$$

$$V_E = \frac{\pi^3}{a^3} \quad \text{Volumen der Einheitszelle im } k\text{-Raum}$$

$$V_k = \frac{1}{8} \cdot \frac{4\pi}{3} \cdot k^3 \quad \text{Volumen einer 1/8 Kugel mit Radius } k$$



Spektrum des Schwarzen Körpers

Spektrale Modendichte im Hohlraumresonator

1-dimensionale Betrachtung (Länge a , n ganzzahlig),
Wellenlänge λ und Wellenzahl k

$$n \cdot \frac{\lambda}{2} = a \quad \rightarrow \quad k = \frac{\pi}{a} n \quad \text{mit} \quad k = \frac{2\pi}{\lambda}$$

Verallgemeinerung auf 3 Dimensionen (n, m, q ganzzahlig)

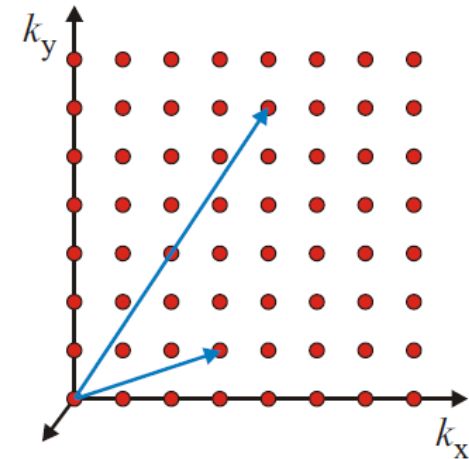
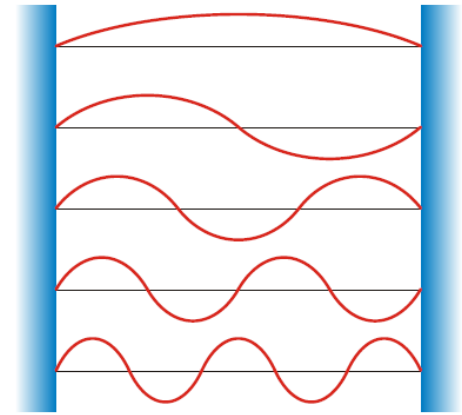
$$k = \frac{\pi}{a} \sqrt{n^2 + m^2 + q^2}$$

$$V_E = \frac{\pi^3}{a^3} \quad \text{Volumen der Einheitszelle im } k\text{-Raum}$$

$$V_k = \frac{1}{8} \cdot \frac{4\pi}{3} \cdot k^3 \quad \text{Volumen einer 1/8 Kugel mit Radius } k$$

$$N_k = 2 \frac{V_k}{V_E} = \frac{1}{3} \frac{a^3}{\pi^2} k^3 \quad \begin{array}{l} \text{Zahl der Moden bis zur Wellenzahl } k \\ \text{(Faktor 2: zwei Polarisationsrichtungen)} \end{array}$$

$$\frac{N_k}{V} = \frac{N_k}{a^3} = \frac{1}{3\pi^2} k^3 = \frac{8\pi}{3c^3} \nu^3 \quad k = \frac{2\pi\nu}{c} \quad \begin{array}{l} \text{Zahl der Moden bis zur Frequenz } \nu \\ \text{pro Volumen des Resonators} \end{array}$$



Spektrum des Schwarzen Körpers

Spektrale Modendichte im Hohlraumresonator

1-dimensionale Betrachtung (Länge a , n ganzzahlig),
Wellenlänge λ und Wellenzahl k

$$n \cdot \frac{\lambda}{2} = a \quad \rightarrow \quad k = \frac{\pi}{a} n \quad \text{mit} \quad k = \frac{2\pi}{\lambda}$$

Verallgemeinerung auf 3 Dimensionen (n, m, q ganzzahlig)

$$k = \frac{\pi}{a} \sqrt{n^2 + m^2 + q^2}$$

$$V_E = \frac{\pi^3}{a^3} \quad \text{Volumen der Einheitszelle im } k\text{-Raum}$$

$$V_k = \frac{1}{8} \cdot \frac{4\pi}{3} \cdot k^3 \quad \text{Volumen einer 1/8 Kugel mit Radius } k$$

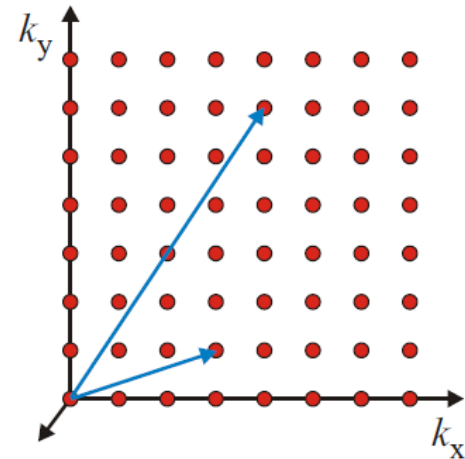
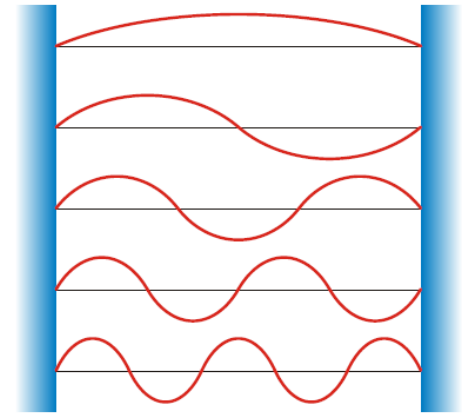
$$N_k = 2 \frac{V_k}{V_E} = \frac{1}{3} \frac{a^3}{\pi^2} k^3 \quad \begin{array}{l} \text{Zahl der Moden bis zur Wellenzahl } k \\ \text{(Faktor 2: zwei Polarisationsrichtungen)} \end{array}$$

$$\frac{N_k}{V} = \frac{N_k}{a^3} = \frac{1}{3\pi^2} k^3 = \frac{8\pi}{3c^3} \nu^3 \quad k = \frac{2\pi\nu}{c} \quad \begin{array}{l} \text{Zahl der Moden bis zur Frequenz } \nu \\ \text{pro Volumen des Resonators} \end{array}$$

$$\frac{d}{d\nu} \left(\frac{N_k}{V} \right) = \frac{8\pi}{c^3} \nu^2$$

$$\rho \cdot d\nu = \frac{8\pi}{c^3} \nu^2 \cdot d\nu$$

Spektrale Modendichte: Zahl der Moden
im Frequenzintervall ν und $\nu + d\nu$ pro Volumen V



Spektrum des Schwarzen Körpers

Spektrale Energiedichte = Spektrale Modendichte · mittlere Energie/Mode

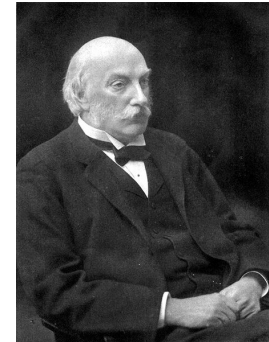
$$w(\nu, T) \cdot d\nu = \rho \cdot \bar{W} \cdot d\nu \quad \text{mit } \bar{W} = k \cdot T \quad \text{aus der kinetischen Gastheorie}$$

$$w(\nu, T) \cdot d\nu = \frac{8\pi}{c^3} \nu^2 \cdot k \cdot T \cdot d\nu$$

Rayleigh-Jeans-Gesetz: Die Energiedichte steigt mit ν^2 und führt somit zu einer beliebig hohen Energiedichte ("Ultraviolett-Katastrophe").



Sir James Jeans
(1877-1946)



John Strutt
Baron Rayleigh
(1842-1919)

Spektrum des Schwarzen Körpers

Spektrale Energiedichte = Spektrale Modendichte · mittlere Energie/Mode

$$w(\nu, T) \cdot d\nu = \rho \cdot \bar{W} \cdot d\nu \quad \text{mit } \bar{W} = k \cdot T \quad \text{aus der kinetischen Gastheorie}$$

$$w(\nu, T) \cdot d\nu = \frac{8\pi}{c^3} \nu^2 \cdot k \cdot T \cdot d\nu$$

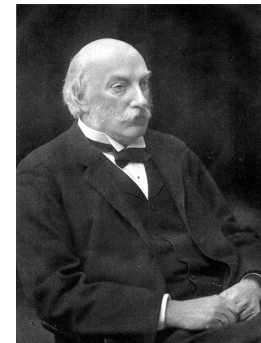
Rayleigh-Jeans-Gesetz: Die Energiedichte steigt mit ν^2 und führt somit zu einer beliebig hohen Energiedichte ("Ultraviolett-Katastrophe").

Ausweg: Energie einer Mode ist ganzzahliges Vielfaches von **Energiequanten**, die proportional zur jeweiligen Frequenz sind (Proportionalitätsfaktor h):

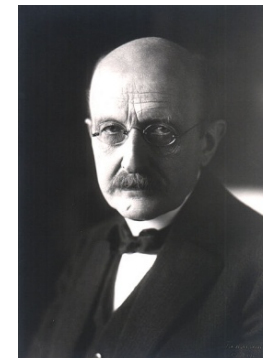
$$W_\nu = n \cdot h \cdot \nu \quad n: \text{ganze Zahl}$$



Sir James Jeans
(1877-1946)



John Strutt
Baron Rayleigh
(1842-1919)



Max Planck
(1858-1947)



Spektrum des Schwarzen Körpers

Spektrale Energiedichte = Spektrale Modendichte · mittlere Energie/Mode

$$w(\nu, T) \cdot d\nu = \rho \cdot \bar{W} \cdot d\nu \quad \text{mit } \bar{W} = k \cdot T \quad \text{aus der kinetischen Gastheorie}$$

$$w(\nu, T) \cdot d\nu = \frac{8\pi}{c^3} \nu^2 \cdot k \cdot T \cdot d\nu$$

Rayleigh-Jeans-Gesetz: Die Energiedichte steigt mit ν^2 und führt somit zu einer beliebig hohen Energiedichte ("Ultraviolett-Katastrophe").

Ausweg: Energie einer Mode ist ganzzahliges Vielfaches von **Energiequanten**, die proportional zur jeweiligen Frequenz sind (Proportionalitätsfaktor h):

$$W_\nu = n \cdot h \cdot \nu \quad n: \text{ganze Zahl}$$

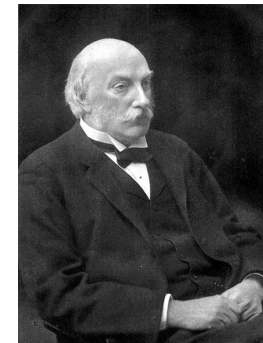
Aber: Die Wahrscheinlichkeit p soll mit der Energie (d.h. mit der Zahl der Quanten n) exponentiell abnehmen. Die mittlere Energie pro Mode ist dann

$$\bar{W} = \sum_{n=0}^{\infty} n \cdot h \cdot \nu \cdot p = \sum_{n=0}^{\infty} n \cdot h \cdot \nu \cdot \frac{\exp(-n \cdot h \cdot \nu / k \cdot T)}{\sum_{n=0}^{\infty} \exp(-n \cdot h \cdot \nu / k \cdot T)}$$

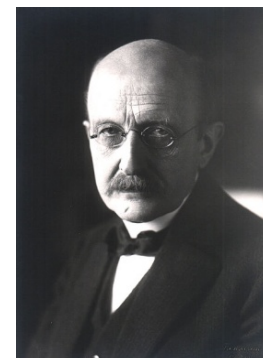
Der Zähler ist ein **Boltzmann-Faktor** wie in der kinetischen Gastheorie, der Nenner dient der Normierung (Summe aller Wahrscheinlichkeiten = 1).



Sir James Jeans
(1877-1946)



John Strutt
Baron Rayleigh
(1842-1919)



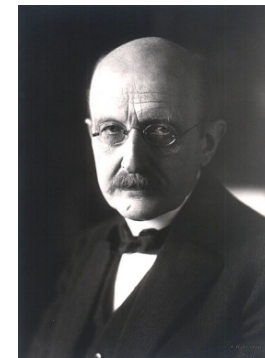
Max Planck
(1858-1947)



Spektrum des Schwarzen Körpers

$$\begin{aligned}\bar{W} &= \frac{\sum_{n=0}^{\infty} n \cdot \alpha \cdot \exp(-n \cdot \alpha \cdot \beta)}{\sum_{n=0}^{\infty} \exp(-n \cdot \alpha \cdot \beta)} \\ &= \frac{-\frac{\partial}{\partial \beta} \left\{ \sum_{n=0}^{\infty} \exp(-n \cdot \alpha \cdot \beta) \right\}}{\sum_{n=0}^{\infty} \exp(-n \cdot \alpha \cdot \beta)}\end{aligned}$$

Abkürzungen: $\alpha \equiv h \cdot \nu$ $\beta \equiv \frac{1}{k \cdot T}$



Max Planck
(1858-1947)



Spektrum des Schwarzen Körpers

$$\bar{W} = \frac{\sum_{n=0}^{\infty} n \cdot \alpha \cdot \exp(-n \cdot \alpha \cdot \beta)}{\sum_{n=0}^{\infty} \exp(-n \cdot \alpha \cdot \beta)}$$

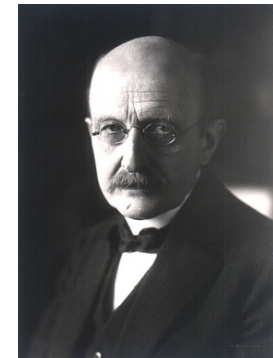
$$= \frac{-\frac{\partial}{\partial \beta} \left\{ \sum_{n=0}^{\infty} \exp(-n \cdot \alpha \cdot \beta) \right\}}{\sum_{n=0}^{\infty} \exp(-n \cdot \alpha \cdot \beta)}$$

$$= -\frac{\partial}{\partial \beta} \left\{ \frac{1}{1 - \exp(-\alpha \cdot \beta)} \right\} \cdot [1 - \exp(-\alpha \cdot \beta)] = \frac{\alpha \cdot \exp(-\alpha \cdot \beta)}{1 - \exp(-\alpha \cdot \beta)} = \frac{\alpha}{\exp(\alpha \cdot \beta) - 1}$$

Abkürzungen: $\alpha \equiv h \cdot \nu$ $\beta \equiv \frac{1}{k \cdot T}$

Im Zähler und Nenner jeweils geometrische Reihe

$$\sum_{n=0}^{\infty} q^n = \frac{1}{1 - q} \quad \text{für } q = \exp(-\alpha \cdot \beta) < 1$$



Max Planck
(1858-1947)



Spektrum des Schwarzen Körpers

Abkürzungen: $\alpha \equiv h \cdot \nu$ $\beta \equiv \frac{1}{k \cdot T}$

$$\bar{W} = \frac{\sum_{n=0}^{\infty} n \cdot \alpha \cdot \exp(-n \cdot \alpha \cdot \beta)}{\sum_{n=0}^{\infty} \exp(-n \cdot \alpha \cdot \beta)}$$

$$= \frac{-\frac{\partial}{\partial \beta} \left\{ \sum_{n=0}^{\infty} \exp(-n \cdot \alpha \cdot \beta) \right\}}{\sum_{n=0}^{\infty} \exp(-n \cdot \alpha \cdot \beta)}$$

Im Zähler und Nenner jeweils geometrische Reihe

$$\sum_{n=0}^{\infty} q^n = \frac{1}{1-q} \quad \text{für } q = \exp(-\alpha \cdot \beta) < 1$$

$$= -\frac{\partial}{\partial \beta} \left\{ \frac{1}{1 - \exp(-\alpha \cdot \beta)} \right\} \cdot [1 - \exp(-\alpha \cdot \beta)] = \frac{\alpha \cdot \exp(-\alpha \cdot \beta)}{1 - \exp(-\alpha \cdot \beta)} = \frac{\alpha}{\exp(\alpha \cdot \beta) - 1}$$

Plancksche Strahlungsformel (Max Planck 1900)

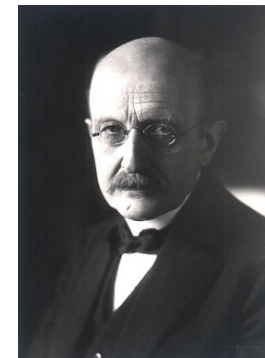
$$w(\nu, T) \cdot d\nu = \frac{8\pi}{c^3} \cdot \frac{h\nu^3}{\exp(h\nu / kT) - 1} \cdot d\nu$$

mit der Planck-Konstante (Plancksches Wirkungsquantum)

$$h = 6,626.070.15 \cdot 10^{-34} \text{ J} \cdot \text{s} \quad (\text{seit 2019 exakt})$$

$$h = \frac{6,626 \cdot 10^{-34} \text{ J} \cdot \text{s}}{1,602 \cdot 10^{-19} \text{ C}} e = 4,136 \cdot 10^{-15} \text{ eV} \cdot \text{s}$$

$$\hbar \equiv \frac{h}{2\pi}$$

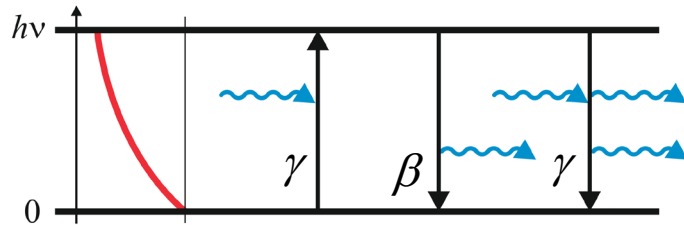


Max Planck
(1858-1947)

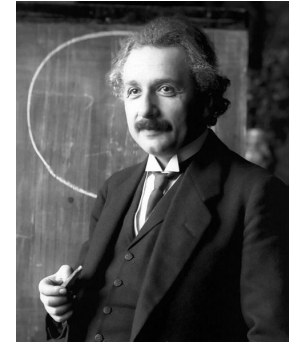


Alternative Betrachtung (Albert Einstein 1917)

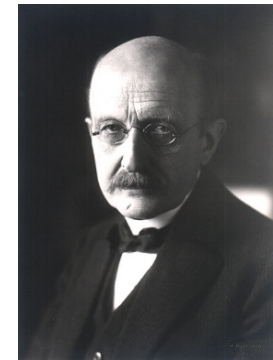
Verhältnis von angeregten zu nicht angeregten Atomen (Boltzmann-Faktor):



$$\frac{n_E}{n_0} = \exp\left(-\frac{E}{kT}\right) \quad \text{mit } E = h \cdot \nu$$



Albert Einstein
(1879-1955)

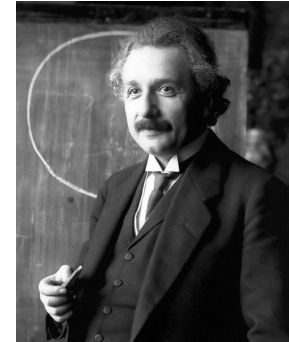
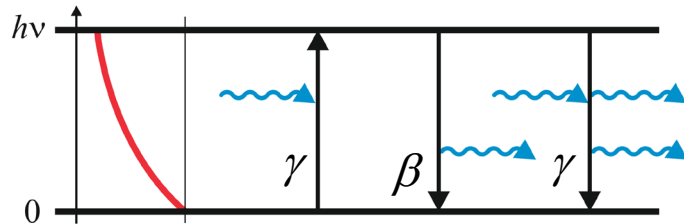


Max Planck
(1858-1947)



Alternative Betrachtung (Albert Einstein 1917)

Verhältnis von angeregten zu nicht angeregten Atomen (Boltzmann-Faktor):

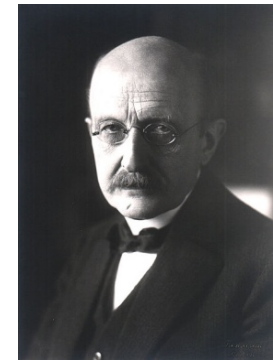


Albert Einstein
(1879-1955)

$$\frac{n_E}{n_0} = \exp\left(-\frac{E}{kT}\right) \quad \text{mit } E = h \cdot \nu$$

$$\gamma \cdot w(\nu, T) \cdot n_0 \cdot d\nu = \beta \cdot n_E + \gamma \cdot w(\nu, T) \cdot n_E \cdot d\nu$$

Absorption pro Zeit und Volumen = spontane Emissionen + stimulierte Emissionen

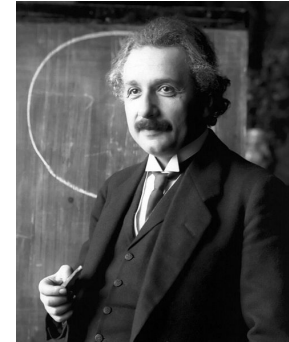
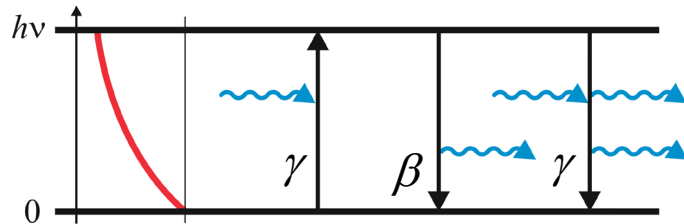


Max Planck
(1858-1947)



Alternative Betrachtung (Albert Einstein 1917)

Verhältnis von angeregten zu nicht angeregten Atomen (Boltzmann-Faktor):



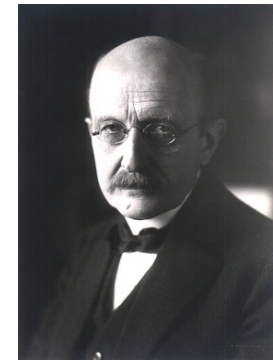
Albert Einstein
(1879-1955)

$$\frac{n_E}{n_0} = \exp\left(-\frac{E}{kT}\right) \quad \text{mit } E = h \cdot \nu$$

$$\gamma \cdot w(\nu, T) \cdot n_0 \cdot d\nu = \beta \cdot n_E + \gamma \cdot w(\nu, T) \cdot n_E \cdot d\nu$$

Absorption pro Zeit und Volumen = spontane Emissionen + stimulierte* Emissionen

*** Die stimulierte Emission wurde hier ad hoc eingeführt, erweist sich aber später als Grundlage für das Verständnis des Laser**

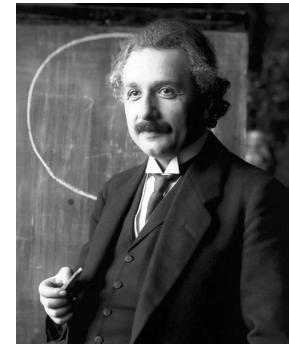
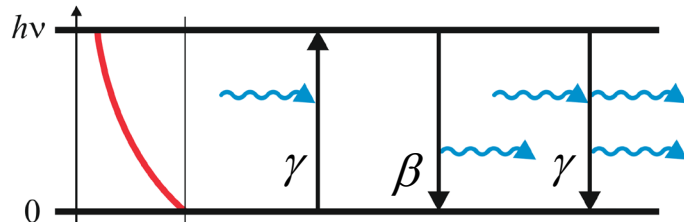


Max Planck
(1858-1947)



Alternative Betrachtung (Albert Einstein 1917)

Verhältnis von angeregten zu nicht angeregten Atomen (Boltzmann-Faktor):



Albert Einstein
(1879-1955)

$$\frac{n_E}{n_0} = \exp\left(-\frac{E}{kT}\right) \quad \text{mit } E = h \cdot \nu$$

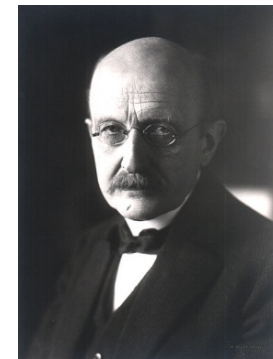
$$\gamma \cdot w(\nu, T) \cdot n_0 \cdot d\nu = \beta \cdot n_E + \gamma \cdot w(\nu, T) \cdot n_E \cdot d\nu$$

Absorption pro Zeit und Volumen = spontane Emissionen + stimulierte* Emissionen

$$w(\nu, T) \cdot d\nu = \frac{\beta}{\gamma} \frac{n_E}{n_0 - n_E} = \frac{\beta}{\gamma} \frac{n_E / n_0}{1 - n_E / n_0} = \frac{\beta}{\gamma} \frac{\exp(-h\nu / kT)}{1 - \exp(-h\nu / kT)} = \frac{\beta}{\gamma} \frac{1}{\exp(h\nu / kT) - 1}$$

$$\frac{\beta}{\gamma} \equiv \frac{8\pi}{c^3} \nu^2 \cdot d\nu \cdot h\nu \quad \text{führt wieder zur } \textbf{Planckschen Strahlungsformel}$$

*** Die stimulierte Emission wurde hier ad hoc eingeführt, erweist sich aber später als Grundlage für das Verständnis des Laser**



Max Planck
(1858-1947)



3.1.2 Der photoelektrische Effekt

Durch die Bestrahlung mit Licht (insbesondere UV) werden aus einer Metallplatte Elektronen herausgelöst. Quantitative Untersuchungen wurden von P. Lenard um 1900 durchgeführt. Davor gab es einige Hinweise z.B.:

- Becquerel-Effekt (Alexandre Becquerel 1839): Zwischen gleichartigen Elektroden in einem Elektrolyten entsteht eine Spannung, wenn sie belichtet werden.
- Hallwachs-Effekt (Wilhelm Hallwachs und Heinrich Hertz um 1886): Ein Elektrometer zeigt einen Ausschlag, wenn es belichtet wird.



Phillip Lenard
(1862 – 1947)



3.1.2 Der photoelektrische Effekt

Durch die Bestrahlung mit Licht (insbesondere UV) werden aus einer Metallplatte Elektronen herausgelöst. Quantitative Untersuchungen wurden von P. Lenard um 1900 durchgeführt. Davor gab es einige Hinweise z.B.:

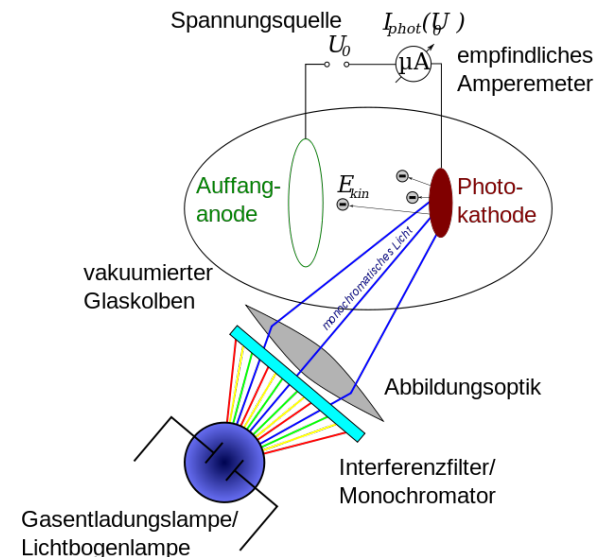
- Becquerel-Effekt (Alexandre Becquerel 1839): Zwischen gleichartigen Elektroden in einem Elektrolyten entsteht eine Spannung, wenn sie belichtet werden.
- Hallwachs-Effekt (Wilhelm Hallwachs und Heinrich Hertz um 1886): Ein Elektrometer zeigt einen Ausschlag, wenn es belichtet wird.



Phillip Lenard
(1862 – 1947)

Die max. kinetische Energie der emittierten Elektronen wird durch die Gegenspannung U_0 bestimmt, bei der ein Stromfluss einsetzt. Sie ist gleich der Photonenenergie $h \cdot \nu$ minus der Austrittsarbeit W_a und unabhängig von der Lichtintensität.

$$E_{\max} = -e \cdot U_0 = h \cdot \nu - W_a$$



3.1.2 Der photoelektrische Effekt

Durch die Bestrahlung mit Licht (insbesondere UV) werden aus einer Metallplatte Elektronen herausgelöst. Quantitative Untersuchungen wurden von P. Lenard um 1900 durchgeführt. Davor gab es einige Hinweise z.B.:

- Becquerel-Effekt (Alexandre Becquerel 1839): Zwischen gleichartigen Elektroden in einem Elektrolyten entsteht eine Spannung, wenn sie belichtet werden.
- Hallwachs-Effekt (Wilhelm Hallwachs und Heinrich Hertz um 1886): Ein Elektrometer zeigt einen Ausschlag, wenn es belichtet wird.



Phillip Lenard
(1862 – 1947)

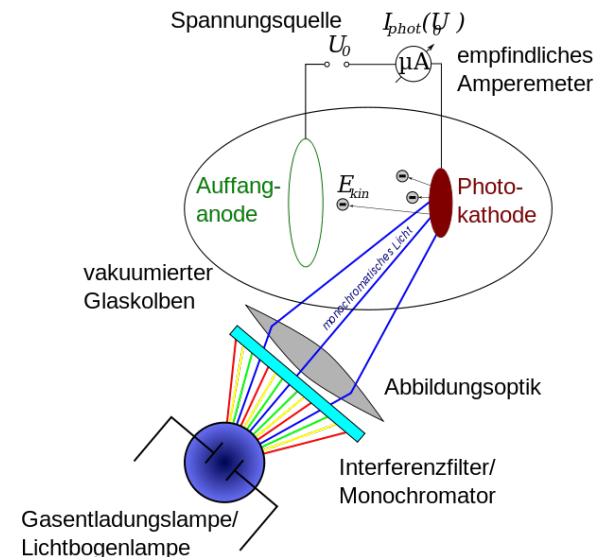
Die max. kinetische Energie der emittierten Elektronen wird durch die Gegenspannung U_0 bestimmt, bei der ein Stromfluss einsetzt. Sie ist gleich der Photonenenergie $h \cdot \nu$ minus der Austrittsarbeit W_a und unabhängig von der Lichtintensität.

$$E_{\max} = -e \cdot U_0 = h \cdot \nu - W_a$$

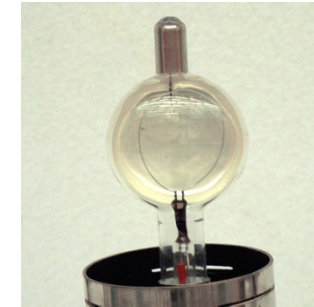
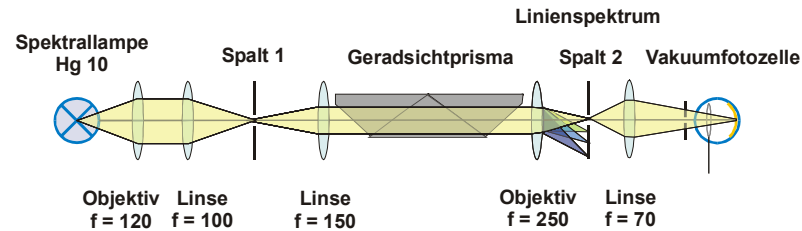
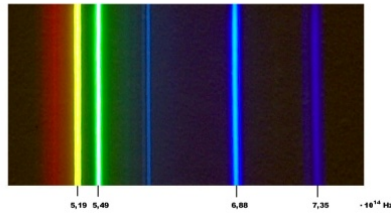
Hinweis auf den Teilchencharakter von Licht

Eine Lichtwelle würde ihre Energie gleichmäßig auf alle Atome verteilen. Die Elektronenemission würde mit großer Verzögerung einsetzen und die kinetische Energie würde von der Lichtintensität abhängen.

Trotzdem ist die **Wellenvorstellung** sehr erfolgreich.

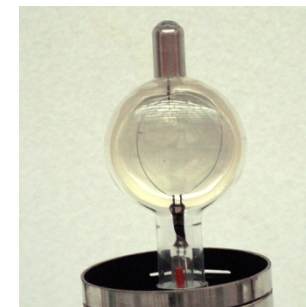
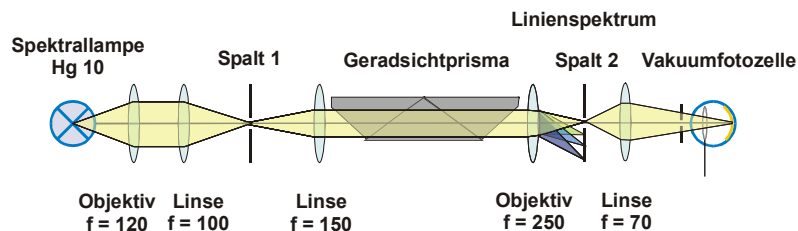
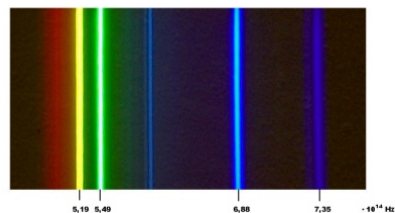


Experiment zum Photoeffekt



Eine Quecksilberdampf Lampe emittiert u.a. gelbes, grünes und blaues Licht, das auf eine Fotozelle gelenkt wird: Die Kalium-Beschichtung (Austrittsarbeit 2,25 eV) des Glaskolbens dient als Photokathode, ein ringförmiger Draht als Anode. Gemessen wird eine Photostrom, der bei einer bestimmten Gegenspannung verschwindet. Diese Spannung entspricht der kinetischen Energie der Photoelektronen in eV.

Experiment zum Photoeffekt



Eine Quecksilberdampfampe emittiert u.a. gelbes, grünes und blaues Licht, das auf eine Fotozelle gelenkt wird: Die Kalium-Beschichtung (Austrittsarbeit 2,25 eV) des Glaskolbens dient als Photokathode, ein ringförmiger Draht als Anode. Gemessen wird eine Photostrom, der bei einer bestimmten Gegenspannung verschwindet. Diese Spannung entspricht der kinetischen Energie der Photoelektronen in eV.

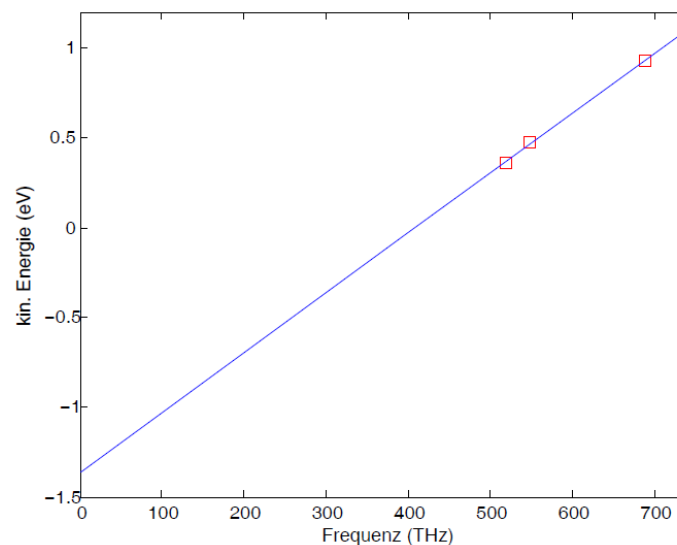
Messergebnisse:

gelb ($\nu = 5,19 \cdot 10^{14}$ Hz): $U = 0,36$ V

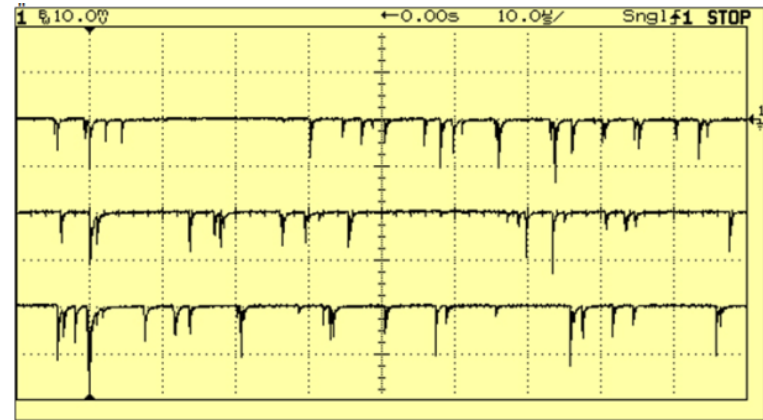
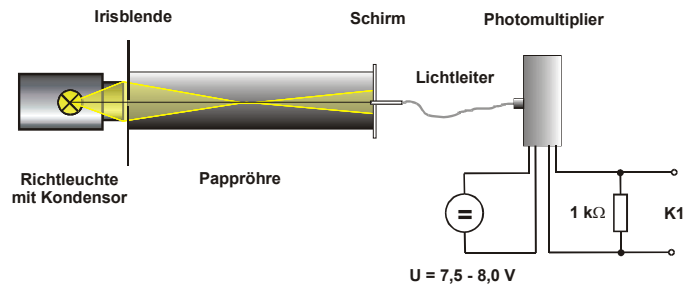
grün ($\nu = 5,49 \cdot 10^{14}$ Hz): $U = 0,48$ V

blau ($\nu = 6,88 \cdot 10^{14}$ Hz): $U = 0,93$ V

Die Steigung der Ausgleichsgeraden ergibt $h = 3,33 \cdot 10^{-15}$ eV·s (Literaturwert $4,14 \cdot 10^{-15}$ eV·s), der Punkt bei Frequenz 0 entspricht der Austrittsarbeit $W_a = 1,36$ eV (Literaturwert 2,25 eV).



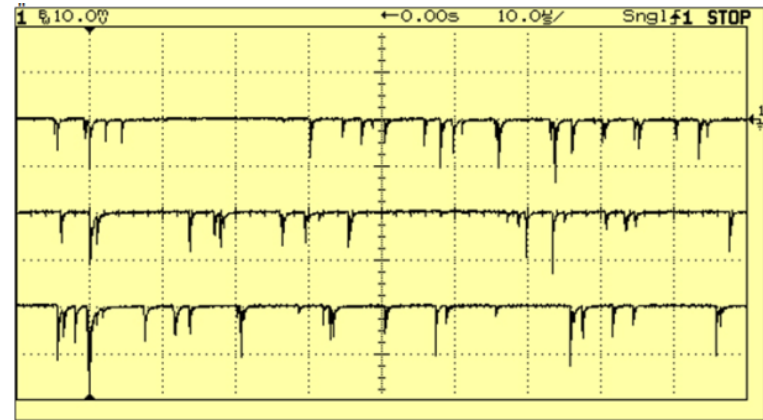
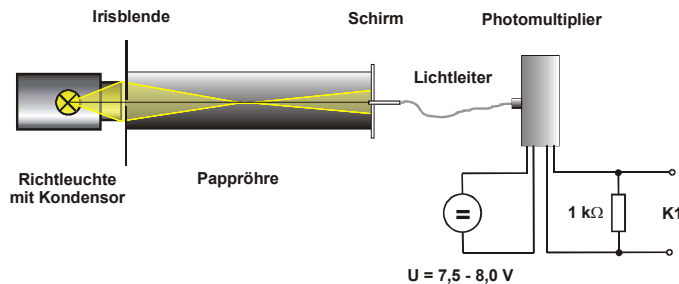
Nachweis einzelner Photonen



Mit einem Oszillografen werden Signale einzelner Photonen sichtbar, wenn die Lichtquelle abgeschwächt wird. Als Detektor dient ein sog. Photomultiplier (typ. Pulsdauer einige 10 ns),
siehe Video "Photonen".



Nachweis einzelner Photonen

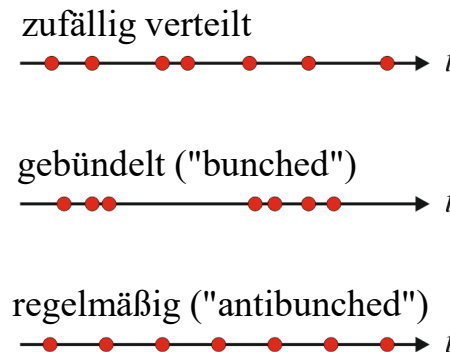


Mit einem Oszillografen werden Signale einzelner Photonen sichtbar, wenn die Lichtquelle abgeschwächt wird. Als Detektor dient ein sog. Photomultiplier (typ. Pulsdauer einige 10 ns),
siehe Video "Photonen".

Existenz des Photons?

Die Beobachtung einzelner Photonen mit dem Photomultiplier scheint die Existenz von Lichtquanten überzeugend zu belegen. Es ist dennoch denkbar, dass Licht eine Welle ist und nur die Quantennatur der Atome im Detektor zu einer Emission diskreter Elektronen führt.

Erst in den 1970er Jahren gelangen ein erstes Experiments, dessen Ergebnisse ohne eine quantenmechanische Beschreibung absolut nicht erklärbar sind: H. J. Kimble, M. Dagenais, L. Mandel, *Photon Antibunching in Resonance Fluorescence*, Phys. Rev. Lett. 39, p. 691 (1977).



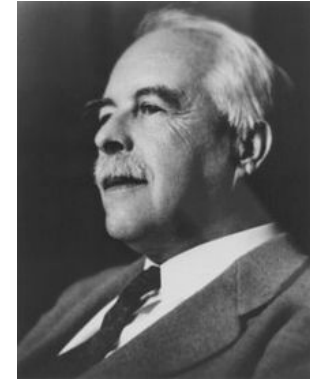
3.1.3 Eigenschaften des Lichtquants (des "Photons")

Existenz des Photons

Spektrum des schwarzen Körpers, photoelektrischer Effekt

Compton-Effekt (Photon-Elektron-Streuung), direkt nachweisbar
(z.B. Photomultiplier, Photodioden), Photonenstatistik

$$\text{Energie } E \quad E = h \cdot \nu = \hbar \cdot \omega = \frac{h \cdot c}{\lambda} = \frac{\hbar \cdot c}{\tilde{\lambda}} = \hbar \cdot k \cdot c \quad k = \frac{2\pi}{\lambda}$$



Gilbert N. Lewis
(1875-1946)
prägte 1926 den
Begriff "Photon"



3.1.3 Eigenschaften des Lichtquants (des "Photons")

Existenz des Photons

Spektrum des schwarzen Körpers, photoelektrischer Effekt

Compton-Effekt (Photon-Elektron-Streuung), direkt nachweisbar
(z.B. Photomultiplier, Photodioden), Photonenstatistik

Energie E $E = h \cdot \nu = \hbar \cdot \omega = \frac{h \cdot c}{\lambda} = \frac{\hbar \cdot c}{\tilde{\lambda}} = \hbar \cdot k \cdot c \quad k = \frac{2\pi}{\lambda}$

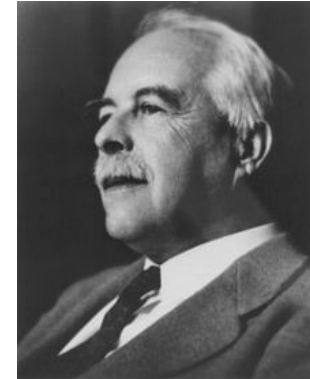
Photonendichte n = Energiedichte w / $h \nu$

$$n = \frac{w}{h \cdot \nu} \quad [w] = \frac{\text{J}}{\text{m}^3} \quad [n] = \frac{1}{\text{m}^3}$$

Photonenflussdichte j = Photonenzahl / (Fläche A · Zeit Δt)

$$j = \frac{n \cdot V}{A \cdot \Delta t} = \frac{n \cdot a^3}{a^2 \cdot a / c} = n \cdot c$$

Annahme: Würfel mit
Kantenlänge a , Volumen V



Gilbert N. Lewis
(1875-1946)
prägte 1926 den
Begriff "Photon"

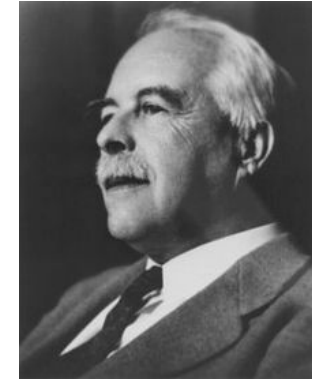


3.1.3 Eigenschaften des Lichtquants (des "Photons")

Existenz des Photons

Spektrum des schwarzen Körpers, photoelektrischer Effekt

Compton-Effekt (Photon-Elektron-Streuung), direkt nachweisbar
(z.B. Photomultiplier, Photodioden), Photonenstatistik



Gilbert N. Lewis
(1875-1946)
prägte 1926 den
Begriff "Photon"

Energie E $E = h \cdot \nu = \hbar \cdot \omega = \frac{h \cdot c}{\lambda} = \frac{\hbar \cdot c}{\tilde{\lambda}} = \hbar \cdot k \cdot c \quad k = \frac{2\pi}{\lambda}$

Photonendichte n = Energiedichte w / $h \nu$

$$n = \frac{w}{h \cdot \nu} \quad [w] = \frac{\text{J}}{\text{m}^3} \quad [n] = \frac{1}{\text{m}^3}$$

Photonenflussdichte j = Photonenzahl / (Fläche A · Zeit Δt)

$$j = \frac{n \cdot V}{A \cdot \Delta t} = \frac{n \cdot a^3}{a^2 \cdot a / c} = n \cdot c$$

Annahme: Würfel mit Kantenlänge a , Volumen V

Intensität I = Energie / (Fläche · Zeit) = Leistung / Fläche

Photonenstrom: $I = \frac{w \cdot V}{A \cdot \Delta t} = w \cdot c = n \cdot h \nu \cdot c = j \cdot h \nu$ $[I] = \frac{1}{\text{m}^3} \cdot \frac{\text{m}}{\text{s}} \cdot \frac{\text{J} \cdot \text{s}}{\text{s}} = \frac{\text{W}}{\text{m}^2}$

El.mag. Welle: $I = c \cdot \epsilon_0 \cdot \overline{E}^2 = \frac{1}{2} c \cdot \epsilon_0 \cdot E_{\text{max}}^2$ $[I] = \frac{\text{m}}{\text{s}} \cdot \frac{\text{A} \cdot \text{s}}{\text{V} \cdot \text{m}} \cdot \frac{\text{V}^2}{\text{m}^2} = \frac{\text{W}}{\text{m}^2}$



Masse des Photons

Photonen haben keine Masse und bewegen sich mit Lichtgeschwindigkeit

$$m_0 = 0 \qquad E = \sqrt{m_0^2 \cdot c^4 + p^2 \cdot c^2} = p \cdot c$$



Masse des Photons

Photonen haben keine Masse und bewegen sich mit Lichtgeschwindigkeit

$$m_0 = 0 \quad E = \sqrt{m_0^2 \cdot c^4 + p^2 \cdot c^2} = p \cdot c$$

Impuls des Photons

$$p = \frac{E}{c} = \frac{h \cdot \nu}{c} = \frac{\hbar \cdot \omega}{c} = \hbar \cdot k \quad \vec{p} = \hbar \cdot \vec{k} \quad \text{als Vektor:}$$



Masse des Photons

Photonen haben keine Masse und bewegen sich mit Lichtgeschwindigkeit

$$m_0 = 0 \quad E = \sqrt{m_0^2 \cdot c^4 + p^2 \cdot c^2} = p \cdot c$$

Impuls des Photons

$$p = \frac{E}{c} = \frac{h \cdot \nu}{c} = \frac{\hbar \cdot \omega}{c} = \hbar \cdot k \quad \vec{p} = \hbar \cdot \vec{k} \quad \text{als Vektor:}$$

Photonen im Gravitationspotenzial φ

$$m = \frac{E}{c^2} = \frac{h \cdot \nu}{c^2} \quad \text{formale Zuweisung einer Masse}$$

$$W = m \cdot \Delta\varphi = \frac{h\nu}{c^2} \Delta\varphi = h \cdot \Delta\nu \quad \rightarrow \quad \frac{\Delta\nu}{\nu} = \frac{\Delta\varphi}{c^2}$$

Photonen, die sich im Gravitationspotenzial bewegen, ändern ihre Frequenz, z.B. bei einem Lichtstrahl an der Erdoberfläche nach oben wird die Frequenz kleiner ("Rotverschiebung").



Masse des Photons

Photonen haben keine Masse und bewegen sich mit Lichtgeschwindigkeit

$$m_0 = 0 \quad E = \sqrt{m_0^2 \cdot c^4 + p^2 \cdot c^2} = p \cdot c$$

Impuls des Photons

$$p = \frac{E}{c} = \frac{h \cdot \nu}{c} = \frac{\hbar \cdot \omega}{c} = \hbar \cdot k \quad \vec{p} = \hbar \cdot \vec{k} \quad \text{als Vektor:}$$

Photonen im Gravitationspotenzial φ

$$m = \frac{E}{c^2} = \frac{h \cdot \nu}{c^2} \quad \text{formale Zuweisung einer Masse}$$

$$W = m \cdot \Delta\varphi = \frac{h\nu}{c^2} \Delta\varphi = h \cdot \Delta\nu \quad \rightarrow \quad \frac{\Delta\nu}{\nu} = \frac{\Delta\varphi}{c^2}$$

Photonen, die sich im Gravitationspotenzial bewegen, ändern ihre Frequenz, z.B. bei einem Lichtstrahl an der Erdoberfläche nach oben wird die Frequenz kleiner ("Rotverschiebung").

Experiment: R.V. Pound and G. A. Rebka, Phys. Rev. Lett. 4 (1960), p. 337.

Messung der sehr kleinen Frequenzänderung mit dem sog. Mößbauer-Effekt (Dopplerverschiebung von Gammastrahlung durch Bewegung von Quelle oder Detektor).

$$\frac{\Delta\nu}{\nu} = \frac{\Delta\varphi}{c^2} = \frac{g \cdot h}{c^2} = \frac{9,8 \text{ m/s}^2 \cdot 23 \text{ m}}{9 \cdot 10^{16} \text{ m}^2/\text{s}^2} = 2,5 \cdot 10^{-15}$$



Drehimpuls ("spin")

$$\vec{s} = \pm \hbar \cdot \vec{e}_k \quad \text{für rechts/links zirkulare Polarisation}$$

$$\text{Einheit des Drehimpulses} \quad \left[|\vec{s}| \right] = 1 \text{ kg} \cdot \frac{\text{m}}{\text{s}} \cdot \text{m} = 1 \text{ J} \cdot \text{s}$$



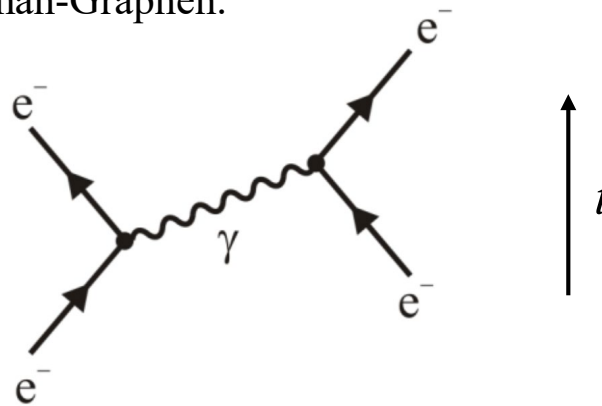
Drehimpuls ("spin")

$$\vec{s} = \pm \hbar \cdot \vec{e}_k \quad \text{für rechts/links zirkuläre Polarisation}$$

$$\text{Einheit des Drehimpulses} \quad [|\vec{s}|] = 1 \, \text{kg} \cdot \frac{\text{m}}{\text{s}} \cdot \text{m} = 1 \, \text{J} \cdot \text{s}$$

Virtuelle Photonen

Austauschteilchen der elektromagnetischen Wechselwirkung,
z.B. symbolisiert durch Feynman-Graphen.



Richard P. Feynman
(1918-1988)



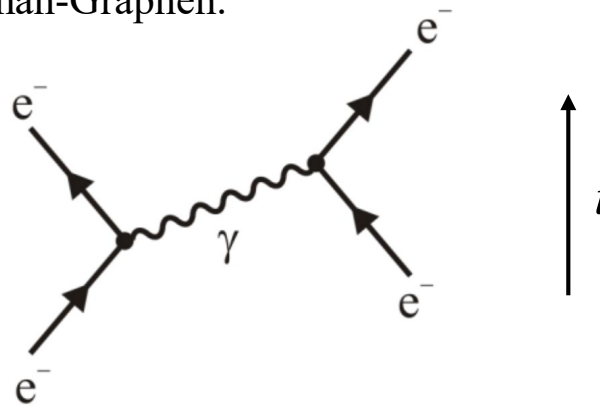
Drehimpuls ("spin")

$\vec{s} = \pm \hbar \cdot \vec{e}_k$ für rechts/links zirkulare Polarisation

Einheit des Drehimpulses $[\vec{s}] = 1 \text{ kg} \cdot \frac{\text{m}}{\text{s}} \cdot \text{m} = 1 \text{ J} \cdot \text{s}$

Virtuelle Photonen

Austauschteilchen der elektromagnetischen Wechselwirkung, z.B. symbolisiert durch Feynman-Graphen.



Richard P. Feynman
(1918-1988)

Welle-Teilchen-Dualismus

Je nach Fragestellung zeigt Licht Wellen- oder Teilchencharakter. Es stellt sich heraus, dass auch typischen Teilchen wie z.B. Elektronen Welleneigenschaften zugeschrieben werden können – siehe nächste Vorlesung.





KOLLOQUIUM PHYSIK

Molekulare Solvation – Von qualitativer Einsicht zu quantitativen Modellen

Prof. Dr. Stefan M. Kast
TU Dortmund

Hörsaalgebäude II
Hörsaal 2

Dienstag, den 08.12.2020
16:30 Uhr – 17:30 Uhr

Die Veranstaltung wird als Livestream
direkt aus HGII/HS2 übertragen mit
anschließender Diskussion!
(Link auf der Fakultäts-Homepage
unter Kolloquium)

Im Auftrag der Dozenten
der Fakultät Physik
Der Dekan

SAMSTAGS: **Zwischen Brötchen und Borussia** **Moderne Physik für Alle**

Physik & Corona

Samstag 07. November, 10:30 Uhr

Prof. Dr. Jan Kierfeld

Die Physik der Viren

Die Wissenschaft hinter der Pandemie

Physik & Corona

Samstag 19. Dezember, 10:30 Uhr

PD Dr. Ralf Georg Meyer

**Das neue Corona-Virus SARS-CoV2
und das Immunsystem**

Ein ambivalentes Verhältnis

Ort: **Stream mit Live-Chat**

Vortragsdauer: jeweils ca. 1 Stunde sowie ein online-
Quiz- bzw. Fragenzettel für die Öffentlichkeit
und die Studium Fundamentale Teilnehmenden.

Diese Veranstaltung wird durch private Sponsoren unterstützt!

Falls Sie regelmäßige Informationen über unsere Veranstaltungen erhalten möchten, dann tragen Sie sich in unseren Newsletter ein unter:
<https://mailman.tu-dortmund.de/mailman/listinfo/pams.physik>

Die Ankündigung für Winter 2020/2021
(Achtung: online Veranstaltung)

Physik & Corona

Samstag 09. Januar, 10:30 Uhr

Prof. Dr. Michael Sydow

Maschinelle künstliche Beatmung

Was tun, wenn die Lunge ihren Dienst versagt?

Physik & Corona

Samstag 06. Februar, 10:30 Uhr

Prof. Dr. Heinz Hövel

Die Physik der Pandemie

Orientierungshilfen durch den Nachrichten-Dschungel

Weitere Infos und die aktuellen Vorlesungslinks unter:

<https://www.physik.tu-dortmund.de/bub>

Kontakt: Metin Tolan & Manfred Bayer

metin.tolan@tu-dortmund.de manfred.bayer@tu-dortmund.de

Die Vorträge werden in einem professionellen Fernsehstudio
von Auszubildenden im Bereich Mediengestaltung Bild und
Ton der TU Dortmund produziert!



3. Quantenmechanik

3.1 Lichtquanten

3.1.1 Strahlung des schwarzen Körpers

3.1.2 Der photoelektrische Effekt

3.1.3 Eigenschaften des Photons

3.1.4 Comptonstreuung

3.1.5 Wechselwirkung von Photonen mit Materie

3.2 Der Welle-Teilchen-Dualismus

3.3 Atome

3.4 Die Schrödingergleichung

3.5 Das Wasserstoffatom

3.6 Wellenfunktion für mehrere Teilchen

3.7 Angeregte Atome

3.8 Mehratomige Systeme

3.9 Atomkerne und Elementarteilchen

